

F0047T

Laboration: Frank-Hertz

Daniel Brolin, danbro-3@student.ltu.se  
Kenny Eriksson, keneri-3@student.ltu.se

20 december 2018

## Sammanfattning

# 1 Introduktion

## Syfte

Frank-Hertz experiment är ett av de första experimenten uppbyggda med avsikten att studera kvantisering av energin i valenselektroner, utfört av James Frank och Gustav Hertz 1914. Experimentet utförs här i avsikt att fördjupa förståelse för kvantisering av energi, och var den resulterande kvantmekaniken avviker från klassisk mekanik.

## Teori

Grundstommen som experimentet baseras på är vakumrörteknologi; en apparat som i modern tid näst intill ersatts av transistorer i de flesta användningsområdena på grund av dess inkompatibilitet med modern höghastighetselektronik.

Det klassiska vakumröret består av katoden, ett upphettat filament som avger sig elektroner till sin omgivning; anoden, en fysiskt separat ledare mot vilken de frigjorda elektronerna attraheras med hjälp av en pålagd spänning; samt gallret, ett nät placerat mellan anoden och katoden och vars spänning kontrolleras relativt de andra två för att modulera strömmen som färdas emellan.

Principen som experimentet baseras på är att vakumröret i detta fall innehåller kvicksilver som kommer förångas vid upphettningen av kammaren röret placerats i. När kammaren och katoden är upphettade kommer en spänning läggas mellan katoden och anoden vilket kommer driva elektroner däremellan som ger upphov till en mätbar ström. Med hjälp av en transresistiv<sup>1</sup> förstärkare och ett oscilloskop så kan strömmen grafas mot den pålagda spänningen.

Under experimentet kommer även gallret att backspännas. Detta kommer motverka elektronerna som propagerar mot anoden genom att introducera ett potentialsteg som kan styras. Detta tillåter en arbiträr barriär för att kunna attenuera elektronflödet utöver drivspänningen och elektronernas interaktion med kvicksilvret.

Experimentets utförande är tydligt detaljerat stegvis i handledningen[2] och upprepas därför inte här.

---

<sup>1</sup>Omvandlar en strömsignal till en spänningsignal

## 2 Metod

Alla tester kördes utan förstärkning och värden är sparade med 5 V/div. För att enkelt kunna läsa av maximan och miniman för accelerationsenergin,  $U_A$ , för att i sin tur kunna beräkna excitationenergin, måste korrekt backspänning och en bra temperatur i ugnen uppnås. Med Ekvation (2.1)[4, s. 303] kan man hitta våglängd från rörelseenergi, vilket kan användas för att identifiera excitationsspektrat, kvicksilvers unika fingeravtryck.

$$\lambda = \frac{h}{\sqrt{2mE_k}} \quad (2.1)$$

där  $h$  är plancks konstant,  $m$  är massan av atomen och  $E_k$  är den kinetiska energin.

$$E_k[eV] = Q * V \quad (2.2)$$

där  $Q$  är laddningen av en elektron och  $V$  är spänningen för att excitera en elektron.

$$\begin{cases} h &= 6.626 * 10^{-34} \\ m &= m_{mercury} = 200.59 \text{ u} = 333.09 * 10^{-27} \text{ kg} \\ Q &= 1.60 * 10^{-19} \\ V &= \Delta V \text{ över uppmätta maxima} \end{cases} \quad (2.3)$$

ger ekvationen

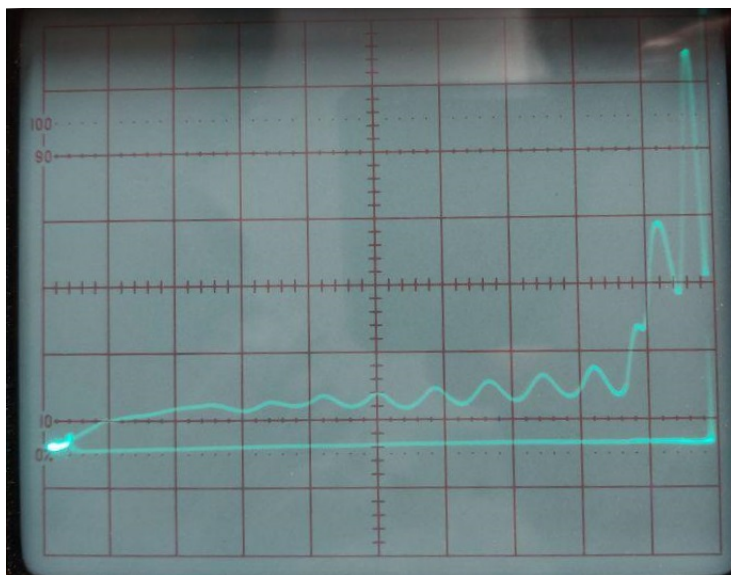
$$\lambda \approx \sqrt{\frac{4.12 * 10^{-24}}{V}} \quad (2.4)$$

Temperaturen ska sättas till 180° C, detta för att säkerhetsställa rätt tryck i tuben. För låg temperatur leder till att det kan bli för få kvicksilveratomer för att märka topparna, och för högt tryck leder till att medelavståndet mellan kollisioner sjunker och slumpmässig rörelse höjs[3].

Backspänningen agerar som en potentialstegsbarriär, när denna är för hög "absorberas" alla låga accelerationsspänningar bort och "subtraherar" från de passerande elektronernas energi. Är denna för låg syns nästan bara brus. En bra nivå på backspänningen sattes till cirka 9 V.

### 3 Resultat

Med ett svep på 50 V accelerationsspänning,  $U_A$ , gavs följande vy, Figur 1 och värdena i Tabell 1.



Figur 1: x-led: accelerationsspänning,  $U_A$ , [5 V/Major div.]  
y-led: ström,  $I_A$ , [arbiträr enhet]

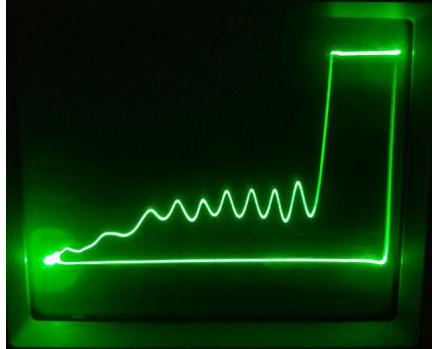
Maxima [div.]	Maxima [V]	Minima [div.]	Minima [V]
3.4	17	3.0	15
4.2	21	3.8	19
5.0	25	4.6	23
5.8	29	5.4	27
6.6	33	6.2	31
7.4	37	7.0	35
8.2	41	7.8	39
8.8	44	8.4	42
9.0	45	—	—

Tabell 1: Maxima och minima i [divisioner] (för jämförelse mot graf) och [V] för analys. Data utläst från graf fig. 1

Från Figur 1 kan det ses hur strömmen ökar exponentiellt med högre accelerationsspänning med periodiska dips som motsvarar excitationenergierna för kvicksilver, 4 eV, enligt periodiciteten som ses i tabell 1. Den exponentiella ökningen ses tydligt i början av Figur 2c där vi mätte maximan och miniman

för systemet.

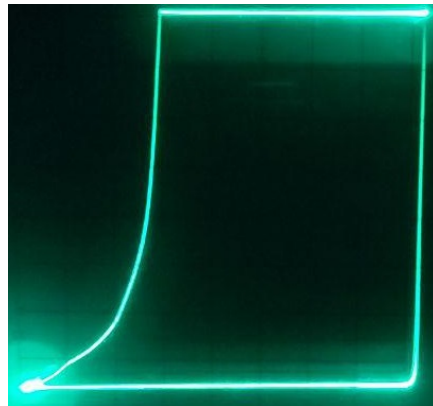
Från jämförelse mellan bilderna fig. 2a och 2b kan vi se att en skillnad i spänningen över filamentet "förskjuter" området vi ser maximan och miniman. I fig. 2b, där  $U_b$  har ökats, syns de periodiska fallen i strömmen bara mot slutet av skalan, där accelerationsspänningen är stor nog för att driva elektronerna förbi potentialbarriären.



(a) Utströmmen mot accelerationsspänningen då en låg backspänning lagts på. Dalarna motsvarar de kinetiska energier varvid elektronerna stoppas av och exciterar kvicksilveratomerna.



(b) Efter backspänningen ökat krävs det mer accelerationsspänning för att nå anoden och registrera som ström.



(c) När temperaturen, backspänningen och spänningen över filamentet var perfekt visades tydligt det exponentiella förhållandet mellan accelerationsspänning och ström, och Franck-Hertz röret började agera som ett lysrör, se fig. 3c.

Figur 2: Bilder fångade på oscilloskopet med släckt lampa för tydligare bild

## 4 Diskussion

Om systemet ses från ett klassiskt mekaniskt perspektiv så består det av en elektron, en partikel, som får en initiell rörelseenergi från accelerationsspänningen, som måste färdas genom ett kontinuerligt retarderande fält i form av kvicksilvergasen och sedan passera potentialsteget som kommer från backspänningen innan den kan bidra till den uppmätta strömmen.

För en given filamentspänning, kammartemperatur och backspänning kommer partikelflödet öka proportionerligt mot accelerationsspänningen, så den mätta strömmen borde ses som en ramp på oscilloskopet. På grund av backspänningen borde det ses en gräns längs accelerationsspänningsaxeln under vilken ingen ström syns då partiklarna inte har nog energi för att passera barriären. Om filamentspänningen ökas frigörs ett större antal elektroner som kan svepas av accelerationsspänningen, så rampen börjar på samma ställe men blir brantare. Om nu kammartemperaturen ändras så ändras mängden förångat kvicksilver; högre temperatur ger mer kvicksilver som kan absorbera energi från elektronerna. Därför borde temperaturkontrollen ge liknande resultat som backspänningen; senare start på rampen då mer kvicksilver ger större total absorption efter elektronens färd genom molnet.

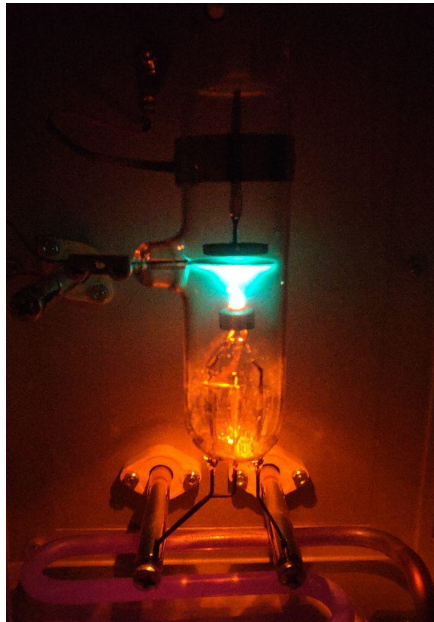
Enligt tabellen tabell 1 har vi miniman i spänningar 15, 19, 23, 27, 31, 35, 39, 42 V. Då effekten av backspänningen börjar kicka in på slutet observerar vi bara de första 6 spänningarna. Det kan antas att med rätt justeringar på backspänningen bör detta mönster upprepas både ner till det första kvantstadiet och säkert även för högre spänningar, smartast hade nog varit att zooma in på det tidiga området på plats, men det blev inte av. Ett tydligt mönster på cirka  $\Delta 4$  V/peak kan urskiljas. Denna energi bör stämma överrens med en våglängd av ljus emitterad av kvicksilver. Användandes ekv. (2.4) i avsnitt 2 ges en våglängd på cirka  $1.015 \cdot 10^{-12}$  m, eller 1.015 pm, se ekv. (4.1).

$$\begin{aligned}\lambda &\approx \sqrt{\frac{4.12 \cdot 10^{-24}}{V}} = \\ &= 1.015 \cdot 10^{-12}\end{aligned}\tag{4.1}$$

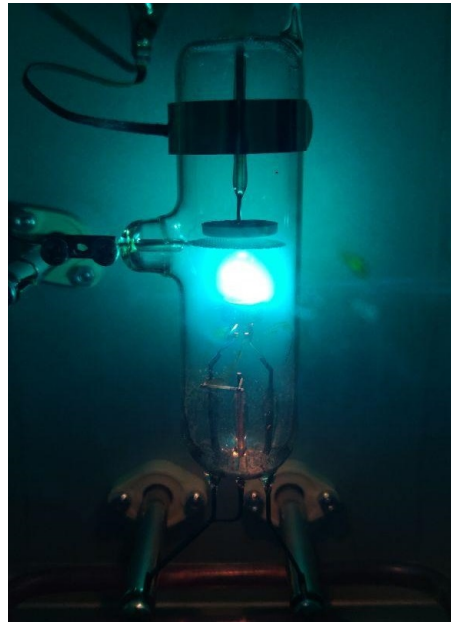
Detta känns inte riktigt rimligt, men vad gör man?

## Referenser

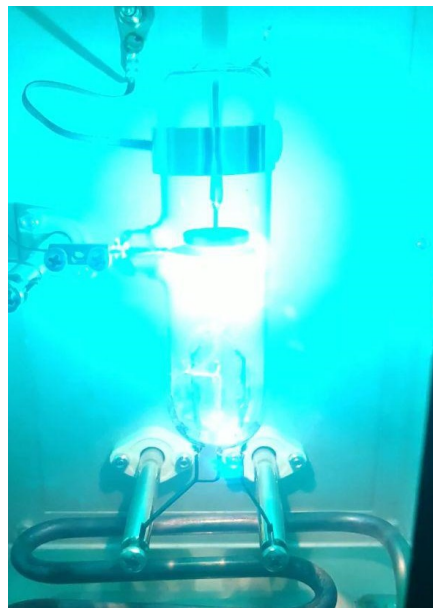
- [1] <http://www.astronoo.com/en/articles/spectroscopy.html>
- [2] Labhandledning, labpm2018, "Laboratory and numerical experiments in Quantum Physics F0047T".
- [3] "The Franck-Hertz Experiment: Excitation of Mercury Atoms", *Rochester University*, [http://teacher.nsr1.rochester.edu/phy\\_labs/Franck\\_and\\_Hertz/Franck\\_Hertz.html](http://teacher.nsr1.rochester.edu/phy_labs/Franck_and_Hertz/Franck_Hertz.html)
- [4] Physics handbook, ed.8.8, ISBN:978-91-44-04453-8, *Nordling, Österman*.



(a) motsvarar grafen i fig. 2a



(b) Motsvarar grafen i fig. 2b



(c) Motsvarar grafen i fig. 2c

Figur 3: Bilder fångade på Franck-Hertz röret med släckt lampa för tydligare bild, dessa motsvarar respektive grafer fångade i fig. 3